

報 文

화학공학 제 7 권 제 2 호

J. KICHE, Vol. 7, No. 2

Jun. 1969

Frequency Response法에 依한 알카리金屬 蒸氣와 일곤의 热傳導 度測定에 關한 研究

李 載 聖*

The Measurement of Thermal Conductivity of Alkali Metal Vapors and Argon by Frequency Response Technique

Chai-sung Lee

Dept. of Chemical Engineering, College of Engineering, Seoul National Uni.

Abstract

The Frequency response to alternating current of a fine wire surrounded by alkali metal vapor was studied theoretically and experimentally for determining the thermal conductivity of the vapor. Data were obtained for cesium and rubidium vapors at pressures from 0.0829 to 0.214 atm. A new method was employed of correcting for temperature jump and vapor volumetric heat capacity.

The reliability of the method is indicated by agreement with literature values for argon up to 1085 °C. The standard error of the argon correlation is estimated at 1.6%, and the total probable experimental error in the cesium and rubidium vapor measurements is estimated at 5.1%.

I. 緒 論

알카리金屬蒸氣의 热傳導度의 測定은 高溫에서 이루 어진다는 點과 易反應性이라는 點, 그리고 凝縮物이 電氣傳導性이라는 點等의 理由로 매우 어려운 實驗이라고 보아야 하겠다. 따라서 이에 關한 데이다는 文獻上에 도 極히 드물뿐만 아니라 있다손 치더라도 그 값은 推定值이거나 또는 매우 粗雜한 값에 不過한 것이다. 예를 들면 Gottlieb 와 Zollweg⁽¹⁾는 低壓의 세슘(Ce) 루비듐(Rb), 및 포타슘(K)蒸氣中에서 탕그스텐·리본으로부터의 热發散을 測定하여 이것을 無限大壓力에 까지 外插하여 單原子蒸氣의 热傳導度를 算出하였다. 이 것도 單 한 溫度에서 推算한 近似值인 것이었다. Stepanov 等⁽²⁾은 Timrot 等⁽³⁾이 考察한 原理에 따라 二重管 사이에다 나트륨과 포타슘蒸氣를 채우고 두管의 热膨脹差長을 測定함으로서 이들蒸氣의 热傳導度를 計算해 냈다. 이 方法에서는 輻射熱量이 傳導熱量보다도 支配的이어서 總熱傳達量의 85%에 까지 이룩되었으므로 輻射影響에 對한 修正誤差가 過大해져 最終數值에 對한 信憑性이 크게 減退된다. 또한 Achener⁽⁴⁾는 高溫에 있

는 긴 等溫管속의 알카리金屬蒸氣層流의 平均溫度上昇量을 재고 Nusselt 數가 理論的으로 3.658에 接近한다는 事實을 利用하여 蒸氣의 热傳導度를 算出한 例가 있다. 그러나 以上的 몇몇 結果는 多少 낮은 値을 주고 있으면 또한 서로 均一性을 잃고 있다.

最近 알카리 蒸氣가 宇宙用 热機關싸이클의 作動物質로서 囑望을 받고 있고, 또 假想的인 Fast reactor 的 Transient 特性을 計算하거나, 또는 氣體論의 理論과 對照해 본다는 意味에서 實測된 알카리金屬蒸氣의 热傳導度에 大量은 關心을 기울이게 되었다.

II. 非定常熱線法에 關한 數學的模型

筆者가 오래前부터 高溫에 서의 氣體의 热傳導度測定用으로서 構想해 왔던⁽⁵⁾가는 金屬線 Filament를 한복판에 뱃圓管型容器를 測定槽로 하고 이에 알카리金屬蒸氣를 채운다. 金屬線은 그의 電氣抵抗의 溫度係數가 큰 것이라야 하고 그의 半徑 r_0 은 可能한 작은 것이라야 한다. 지금 이 金屬線을 純粹한 sine 波交流 $i = \sqrt{2} I \sin \omega t$ 로 可熱하여 周圍를 둘러싸고 있는 金屬蒸氣를 거쳐 半

徑 r_2 ین 圓管壁으로 그 热을 發散케 하면 热線의 温度는 金屬蒸氣 또는 가스의 热傳導度의 크고 적기에 따라 決定되는 振幅과 波形으로 Oscillate 할것이며, 이에 따라 그의 電氣抵抗도 Oscillate 하며, 热線에서의 IR-drop 를 測定하면 이것이 热傳導度의 函數로 되어 있을 것이므로 그들사이의 相關關係를 이용하여 거꾸로 IR-drop 로 부터 热傳導度를 跟아내자는 것이 이方法의 基本原理인 것이다. 우선 热線과 圓管사이의 空間을 채운 가스部分에 適用되는 式은

$$\frac{k}{cp} \left(\frac{\partial^2 t}{\partial r^2} + \frac{1}{r} \frac{\partial t}{\partial r} \right) = \frac{\partial t}{\partial \theta} \quad \text{for } r_1 < r < r_2 \dots \dots \dots (1)$$

로 表現될 것이다, 圓管壓에서의 境界條件은

$$t = t_2 \quad \text{at } r = r_2 \dots \dots \dots (2)$$

로 주기위하여 壁이 아주 두꺼운 金屬圓管을 使用한다고 하겠다.

또 하나의 境界條件은 热線表面에서인데 아래와 같은 热收支式으로 表現할 수 있을 것이다.

$$(\sqrt{2} I \sin \omega \theta)^2 \bar{R} = \pi r_1^2 C' \rho' L \frac{\partial t}{\partial \theta} - 2\pi r_1 L k \frac{\partial t}{\partial r} \\ + 2\pi r_1 L h (t - t_2), \text{ at } r = r_1 \dots \dots \dots (3)$$

여기서 热線은 그의 表面이나 内部나 다 t_1 이라는 單一溫度로 나타낼 수 있을 程度를 充分히 가는 것이라고 생각하며, 또 그의 溫度振幅이 작아서 輒射에 依한 热傳達係數 $h^{(e)}$ 와 電氣抵抗 \bar{R} 도 우선은 一定하다고 假定한다.

以前의 이루어진 研究⁽⁶⁾에 있어서는 永久가스를 使用했기 때문에 가스의 壓力を 마음대로 높여 分子의 mean free path 的 길이를 輪개 함으로서 壁에서의 溫度 jump 를 無視할 수 있게 할수가 있었기 때문에 (3)式에서의 热傳導度는 (1)式의 것과 같은 것이다. 다시 말해서 壁面에서의 가스의 溫度는 壁面自體의 溫度와 같다고 볼 수 있었다.

그러나 알카리 金屬을 사용한 本研究에 있어서는 壓力이 飽和值以下라야 하였기 때문에 그 값이 낮아야하고 따라서 热線壁에서의 溫度 jump 가 問題된다. 溫度 jump 를 等價热傳達係數의 項속에 包含시킨 正確한 境界條件도 쓸 수가 있겠지만 풀이가 매우 繁雜해질 것을 우려하여 간단하게 溫度 jump 의 영향을 다루는 方法을 考案했다. 즉 (3)式 우편의 제 2 항의 k 는 壁과의 경계面에서의 溫度 jump 의 영향으로 그의 實效值가 낮아질 것이다. 따라서 溫度 jump 에 對한 Kennard의 理論⁽¹⁾을 同心圓筒에 適用시켜 얻어진 아래와 같은 式으로 定義되는 氣體의 热傳導度의 實效值 k^o (壁面

$$\frac{k^o}{k} = 1 + \frac{1}{r_1 \ln(r_2/r_1)} \left(\frac{2-a}{a} \right) \left(\frac{c_v}{c_p} \right) \left(\frac{\sqrt{2\pi RT}}{r+1} \right)^{-\frac{1}{p}} \\ \text{for } r_1 < r_2 \dots \dots \dots (4)$$

가스에만 생각함)을 k 대신 사용하면 t_1 을 가스의 溫度

로 보지 않고 測定可能인 热線의 温度로 생각할 수가 있을 것이다. 따라서 이들式의 解는 前의 것⁽⁶⁾과 꼭 같은 形의 것이 될것이며 \circ 를 붙인 無次元數는 k 대신 k^o 가 든 것이라고 생각하면 된다.

$$t_1 = t_2 + \frac{I^2 \bar{R} \ln(DR)}{2\pi k^o L [RR^o \ln(DR) + 1]} \\ + \frac{I^2 R (AR^o)}{\omega c' \pi r_1^2 \rho' L} \cos(2\omega \theta + \phi^o) \dots \dots \dots (5)$$

여기서 두字以上의 大文字表示는 無次元比를 알아보기 쉽게 하기 위한것이며, 이들과 아울러 本報文에 使用되는 다른 無次元數들을 아래表에 추려보겠다.

$$AR^o \text{ 振幅比} \quad \frac{1}{4} CR^o \sqrt{(g_D^o)^2 + (b_D^o)^2}$$

$$CDR \text{ 體比熱比} \quad c' \rho' / cp$$

$$CR^o \text{ 傳導比} \quad 2\omega c' \rho' r_1^2 / k^o$$

$$DR \text{ 半徑比} \quad r_2 / r_1$$

$$RR^o \text{ 輻射比} \quad h r_1 / k^o$$

$$QR \text{ 輻射分率} \quad q_{rad} / q_{tot}$$

$$TJF \text{ 溫度 jump因子} \quad \frac{k(2-a) \sqrt{2\pi RT}}{ac_v(r+1)r_1 \ln(DR)} \frac{1}{p}$$

$$TJC \text{ 溫度 jump修正項} \quad (AR^o - AR) / AR$$

$$RR \text{ TJF=0 時의 輻射比} \quad QR / [(1-QR) \ln(DR)]$$

$$\phi^o \text{ 位相角} \quad -\tan^{-1}(b_D^o / g_D^o)$$

여기서

$$g_D^o = \frac{1}{G} [K_1 \text{ber}x + K_2 \text{bei}x - (S_1 K_1 + S_2 K_2) \text{ker}x \\ - (S_1 K_2 - S_2 K_1) \text{kei}x] \dots \dots \dots (6)$$

$$b_D^o = \frac{1}{G} [-K_1 \text{ber}x + K_2 \text{bei}x + (S_1 K_1 + S_2 K_2) \\ \text{kei}x - (S_1 K_2 - S_2 K_1) \text{ker}x] \dots \dots \dots (7)$$

이고, 上式에 使用한 記號들의 定義는

$$G = K_1^2 + K_2^2$$

$$K_1 = x(\text{ber}'x - S_3) - U^o(\text{ber}x - S_5) + (Z^o/2)(\text{beix} - S_6) \dots \dots \dots (9)$$

$$K_2 = x(\text{bei}'x - S_4) - U^o(\text{beix} - S_6) - (Z^o/2)(\text{ber}x - S_5), \dots \dots \dots (10)$$

그리고

$$x = \sqrt{\frac{CR}{CDR}} \dots \dots \dots (11)$$

$$Z^o = \frac{CR}{1 + TJF} \dots \dots \dots (12)$$

$$U^o = \frac{RR}{1 + TJF} \dots \dots \dots (13)$$

$$S_1 = \frac{\text{ber}'y \text{ker}'y + \text{bei}'y \text{kei}'y}{(\text{ker}'y)^2 + (\text{kei}'y)^2} \dots \dots \dots (14)$$

$$S_2 = \frac{\text{bei}'y \text{ker}'y - \text{ber}'y \text{kei}'y}{(\text{ker}'y)^2 + (\text{kei}'y)^2} \text{이며,} \dots \dots \dots (15)$$

또 여기서

$$y = \sqrt{\frac{CR}{CDR}} \cdot DR, \dots \dots \dots (16)$$

그리고

$$S_3 = S_1 \text{ber}'x - S_2 \text{kei}'x \dots \dots \dots (17)$$

但 위의 式들中에서 $TJF=0$ 로 하면 오른편위에 붙인 0을 除去하여 以前의 式⁽⁶⁾과同一하게 할 수 있다.

溫度 jump 가 없는 경우에 해당되는 振幅比와 位相角, 即 AR 과 ϕ 가 다른 無次元比의 變化에 따라 어떻게 變하는가는 以前의 研究⁽⁶⁾에서 이미 계산되어 있지만 本研究에서는 사용한 알카리 金屬蒸氣의 热傳導度가 작고 또 壓力도 낮으므로 더욱 높은 CDR域에서 계산을 진행시켜야 했다. Fig. 1 에는 RR=0(輻射가 없는 경우)과 半徑比 DR=1,000 인 경우에 CDR 을 parameter 로 한 AR 과 CR 사이의 관계를 나타낸 것이다. 이들 왼쪽으로 下降하면 曲線이 CDR 이 높은 값에서 는 CR=0.1 부근에서 다시 들고 일어난다는 特性은 以前에는 알아채지 못했던 事實이다.

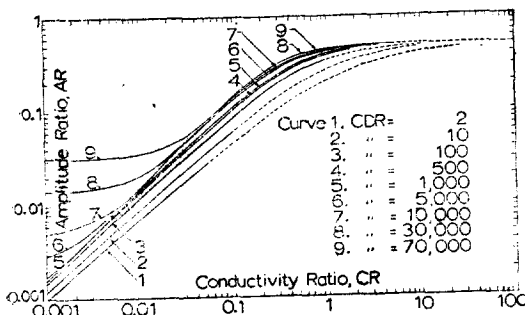


Fig. 1 Theoretical Frequency Response Curves for Ratio (DR) of 1000, andZero Temperature Jump (TJF), and Thermal Radiation (QR)

Fig. 2 는 溫度 jump 修正項 TJC 를 傳導比 CR 에 對하여 plot 한 것인데 TJF, QR, 및 CDR 을 同時に Parameter 로 한 계산값의 一例이다. 이로부터 AR° 値를 AR 值로 換算할 수가 있고 또 그 反對도 可能하다. 實驗結果로부터 热傳導度를 계산해 나가는 過程에 있어서는 꽤 긴 電子計算機 프로그램ing⁽⁶⁾을 사용하여 個個의 경우에 해당되는 TJC 値을 계산해내고, 그로부터 AR° 에 해당되는 値을 계산해 낸다.

(5)式으로 부터 얻어지는 $t_1 - t_2$ 의 값은理論上 热線을 거쳐서 일어나는 IR-drop의 波形이 热線의 抵抗이 oscillate하지 않고一定하다고 생각했을 경우에 해당되는純 sine 波形으로부터 얼마나 벗어나는가를 觀測함으로서 얻을 수가 있다. 热線을 거쳐 일어나는 IR-drop는 아래와 같이 表現된다.

$$E = \sqrt{2} I \sin \omega \theta [R_2 + \frac{dR}{dt}(t_1 - t_2)]$$

$$= \sqrt{2} E_s \sin \omega \theta - \sqrt{2} E_s \sin(\omega \theta + \phi^\circ) + \sqrt{2} E_s \sin$$

여기서

$$E_1 = IR_2 + \frac{I^2 R \ln(DR) \frac{dR}{dt}}{2\pi k^2 L [RR^2 \ln(DR) + 1]} \dots \dots \dots (22)$$

AR^o 는 따라서 第 3 高調波의 振幅인 E_3 를 測定함으로서 式으로부터 계산할 수가 있다. 勿論 位相角 ϕ^o 를 測定함으로서 또 하나의 热傳導度의 函數인 無次元比를 얻을 수가 있지만 精度에 있어서 第 3 高調波의 振幅인 E_3 測定에 못 미친다.

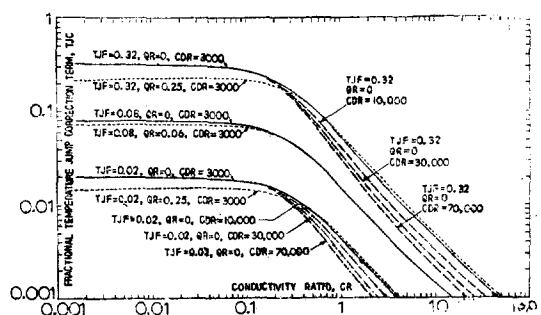


Fig. 2 Fractional Temperature Jump Correction Term as a Function of Conductivity Ratio (CR) for Various Values of Temperature Jump Factor (TJF), Thermal Radiation (QR), and Volumetric Heat Capacity Ratio (CDR)

E_3 의 测定에는 热傳導度测定槽을 한다리로 하는 Wien bridge를 사용하는편이 가장 좋다. Fig. 3에 bridge回路와 아울러 测定用 電子機器 및 其他 補正用 回路를 나타내었다. 이 bridge를 基本周波數 f 에 關하여 balance시키면 (21)式의 첫째와 둘째項은 지워지고 第3高調波의 電壓만이 balance 되지 않은 상태로 bridge出力이 되어 나을것이다. 그러나 이 出力, E_{3R} 이 곧 E_3 을 뜻하는것이 아니고 아래식에 依하여 E_{3R} 로부터 E_3 을 계산해야 한다.

여기서 熱線의 抵抗은 $R_c = (R_d/R_a)R_b$ 이다. bridge 回路에 사용한 Decade capacitor 들은 熱線의 等價 reactive impedance 를 balance out 시킴으로서 더욱 sharp 한 balance 點을 얻기 위하여 사용한 것이다. 萬一 位相 角 ϕ° 를 測定할 目的이라면 이 capacitor 의 reading 을 記錄해야 할 것이다.

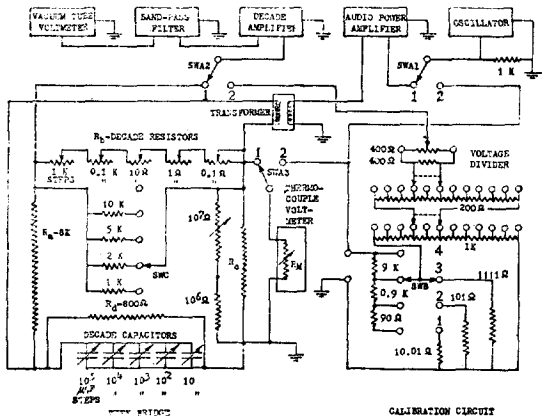


Fig. 3 Power, Measurement, and Calibration Circuit of a Hot Wire Transient Thermal Conductivity Cell

III. Frequency Response Technique 의 由來와 相對的 測定法

위에서 論述한 測定法, 即 E_3 測定으로부터 AR° 를 산출하고 다음 該當 TJF, RR, 및 CDR 值으로부터 電子計算機를 거쳐 TJC 를 산출하여 AR 을 계산, 이어서 Fig. 1 를 이용하여(實際로는 電子計算機에 依함)該當 CR 值를 求하여 热傳導度 k 를 算出하는 方法은 基本周波數 f 와 热線의 正確한 半徑值를 안다는 것을前提로 한다. 이 方法은 앞서 記述한 數學的 模型이 正確하게 들어맞는다는 것도前提로 하지만, 實事 아주 가느다란 Filament 的 半徑을 正確하게 재기는 매우 困難하며 또 數學的 模型도 100% 正確할 수가 없다. 지금 이 方法을 “絕對的方法”이라고 命名하기로 하면 이 方法에 依함 最終值는 그 絶對性이 稀薄하지만 아래와 같은 方法을 指하면 이 폐단을 除去할수가 있다. 새로운 有次元數 GP 를 아래와 같이 定義한다.

이래 가지고 두 가지의 다른 가스에 對하여 AR vs. CR 이 아니고 AR vs. GP 의 曲線을 그린다. 이때 GP의 값은 一定한 溫度에 있는 한 가지 가스에 對하여는 加熱用 sine 波形 電流의 周波數 f 의 값을 變化시킬으로서 廣範圍하게 變化시킬 수가 있다. 이리하여 조금씩 이ぐ난 두 개의 曲線을 얻을 수 있다. 지금 AR 의 어느 한 값에 對한 두 曲線의 橫座標值인 GP의 比는 理致上 두 가스의 热傳導度의 比로 되어 있을 것이다. 만일 한 쪽의 가스의 热傳導度가 完全히 研究되어 있는 것이라면 이를 基準(reference)으로 하여 다른 쪽 가스의 热傳導度를 나타낼 수가 있다. 이것이 卽 表題의 “相對的 方法”에 해당되는 것이다. 相對的方法에서는 基準가스의 값이 더욱 改善되었을 때에는 被試가스의 값도 따라서 改善된다. 뿐만 아니라 이 相對的方法을 遂

行하기 위하여는 가스의 *AR* 值의 周波數에 對한 反應을 測定하는 셈이 되므로 이方法에다 Frequency Response Technique 란 이름을 부친 것이다. 이 後者の 方法에 依하면 Filament 的 半徑은 *GP* 的 比를 取할 때 지워져 나가고 또 數學的 模型의 不完全性은 基準가스의 使用으로 補償處理되기 때문에 本法의 數學的 模型은 Idea 上의 큰 차질이 없으면 그만이지 세세한 點에서若干한 偏差가 있어도 結果의 精度에는 相關이 없다.

IV. 測定器의 設計와 操作

本實驗에서는 두가지 型의 測定器를 使用했다. 이들은 導線을 絶緣하기 為하여 사용한 密封部에 oun 差異點을 가진다. 測定器 No. 1 (Fig. 4)은 보일라 測定槽 및 密封部로 되어 있는데 모두 SS-310로 製作된 것이다. 蒸氣와 接觸을 하는 密封部는 1/16-in 外徑에 1/64-in 內徑의 熔融아루미나(商品名("Lucalox")管 内外에 凝結한 固形 알카리金屬에 의하여 構成되어 있다

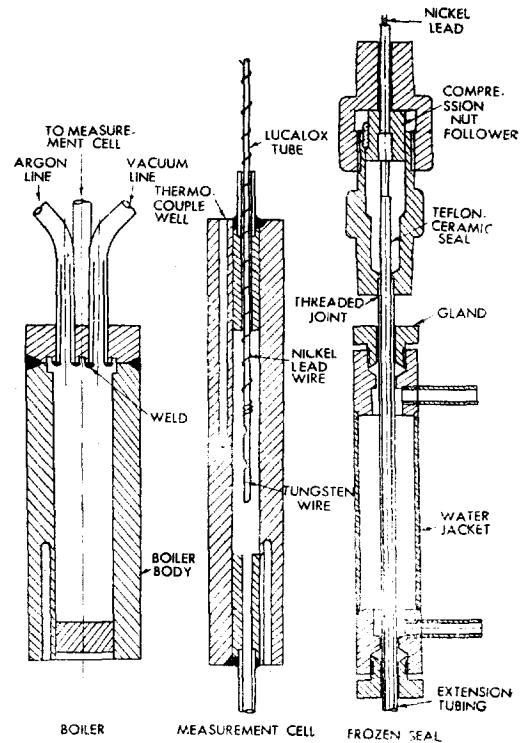


Fig. 4 Hot Wire Thermal Conductivity Cell with Frozen Metal Seal

操作에 있어서는 测定器를 우선 完全히 真空(3×10^{-5} mmHg程度)으로 끌고 凝固式密封部의 jacket에다 찬 물을 끈 다음 보일라와 测定槽加熱爐의 스위치를 넣는

다. 時間의 經過에 따라 凝固金屬이 延長管內 Lucalox 管 内外에 蓄積되어 密封層이 잘 形成된 後에 真空泵 푸를停止시킨다. 이 测定器는 루비듐·메타를 提供해 주었다.

测定器 No. 2(Fig. 5)는 乾式密封部를 가진것으로서 Lucalox 슬리브兩端에다 N_2 — $1\%Zr$ 合金板으로 만든 왓사와 圓板을 brazing으로 融着시킨 것으로 되어있다.

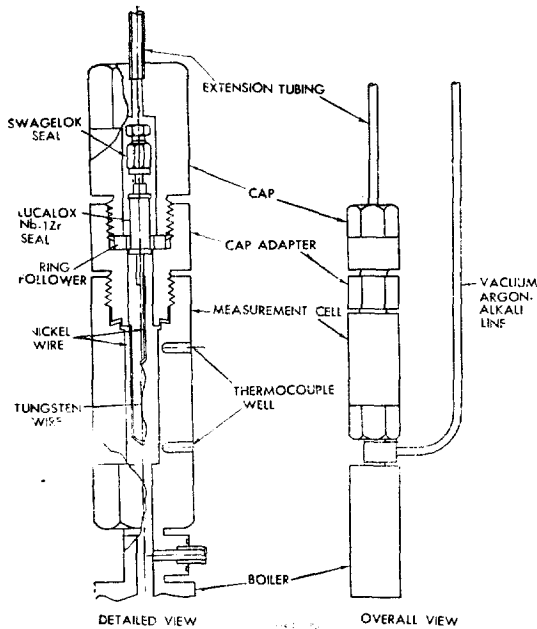


Fig. 5 Hot Wire Thermal Conductivity Cell with Braze Cell

原來 이 部分은 나트륨蒸氣燈用으로 開發되었던 것이다(General Electric 社 特製). Lucalox에 融着시킨 圓板은 Haynes 25(Co 와 W이 多量 든 高溫用 特殊合金)로 만든 cap adapter 속에 있는 턱에 얹혀놓고 SS-310으로 만든 cap를 셈 힘으로 들어서 내려누르고, cap adapter는 다시금 测定槽 元體에다 틀어 박고 그 사이에는 SS-316으로 만든 "Conoseal" gasket가 씨그리져 끼어있게함으로써 完全한 密封을 이루게 한다. 그러나 이 密封裝置는 脆弱하기 때문에 800°C 以上으로는 사용하기 힘든다. 이 测定器는 세슘의 메이타를 주었다. 두가지 型의 测定器는 모두 複雜한 構造로 되어 있으나 그의 主要 理由는 热線으로 사용한 filament가 끊어지면 다시 갈아 넣기 위하여 分解할 수 있게한 點에 있다.

Filament로서는 從前에 類似한 目的에 흔히 사용하던 白金線은 알카리 金屬蒸氣에 對한 耐蝕性이 弱하기 때문에, 이것을 이겨나갈 수 있는 탕그스텐線을 사용

했다. 이 测定法의 理論上 热線은 가늘수록 높은 周波數을 쓸수 있는데 實驗當時 求해질 수 있는 最細탕그스線의 直徑은 0.00012 in 이었다. 热線의 徑이 定해지면 높은 周波數를 쓸수록 CR의 값이 커져 溫度 jump 와 輻射의 영향에 對한 修正이 적어지지만(Fig. 2, 6를 參照). 그 대신 AR vs. CR 曲線의 直線的인 可用部分은 낮은 값의 CR域에 限制되어 있다(Fig. 1을 參照)는 事實과 矛盾이 된다.

이런 見地에 立脚한 CR의 適切한 折衷值를 주는 周波數을 豊備의으로 莊集한 資料로 부터 계산한 것을 Table 1에 設었다.

Table 1. Frequency for a Conductivity Ratio of 0.1

Gas or Vapor	k/k_{C_s} at 750°C	Frequency of Current at Diameter of Tungsten Wire, In. (0.0003)	Frequency of Current at Diameter of Tungsten Wire, In. (0.00012)
He	64.2	57	348
N_2	11.0	10	61
A	4.68	7.4	45
Cs	1.00	1	6.1
Rb	1.46	1.5	9.2
K	2.48	2.5	15.3
Na	4.88	4.6	28.1
Li	13.7	13.4	81.8

本研究에서의 數學的 模型은 热線과 圓管의 同心性을 假定했었는데, 热線이 반드시同心이 아니더라도 이 實驗에서는 DR(約 3000)의 값이 크고 (Fig. 7을 參照)相對的 测定方法을 擇했기 때문에 重大한 문제가 되지 못한다. 두 낙켈도선 사이에 맨 탕그스텐線은 약간 여유있게 누추어 매어도 관계없다. 매는 方法은 니켈導線의 끝을 매려 남작하게 한것을 접고 그 사이에 탕그스텐線의 한 끝을 끼어 Vice-pliers로 壓着한다. 線이 黑暗背景이 없이는 보이지 않을 정도로 가늘기 때문에 線을 導線에 매는 工程은 至難한 것이며 熟練을 要한다.

탕그스텐線이 매우 가늘다는 點과 또 그의 酸化性이 비교적 크다는 點으로 미루어 测定器內의 酸素는 그것이 遊離상태이든 모조리 除去해야 한다. 이를 為하여 알카리 金屬을 채우기 前에 미리 數그램의 Ti-Zr 合金의 切片("Getterloy"로서)을 보일라속에 넣고 알곤雲霧氣속에서 测定器를 加熱함으로서 알카리 金屬을 蒸發시키지 않고 酸素를 可能한대까지 除去한다. 이 操作을 操心性있게 하면 세로운 0.00012 in의 탕그스텐線은 몇 回數의 實驗동안 $1,000^\circ\text{C}$ 또는 그 以上的 溫度에 견딘다는 것을 알아냈다.

测定器는 두개의 獨立的인 直立電氣爐로 加熱된다. 아래의 것은 液體알카리 金屬의 溫度를, 따라서 蒸氣壓

을 설정해 주고, 위의 것은 蒸氣의 溫度 또는 過熱度를 설정해 준다.

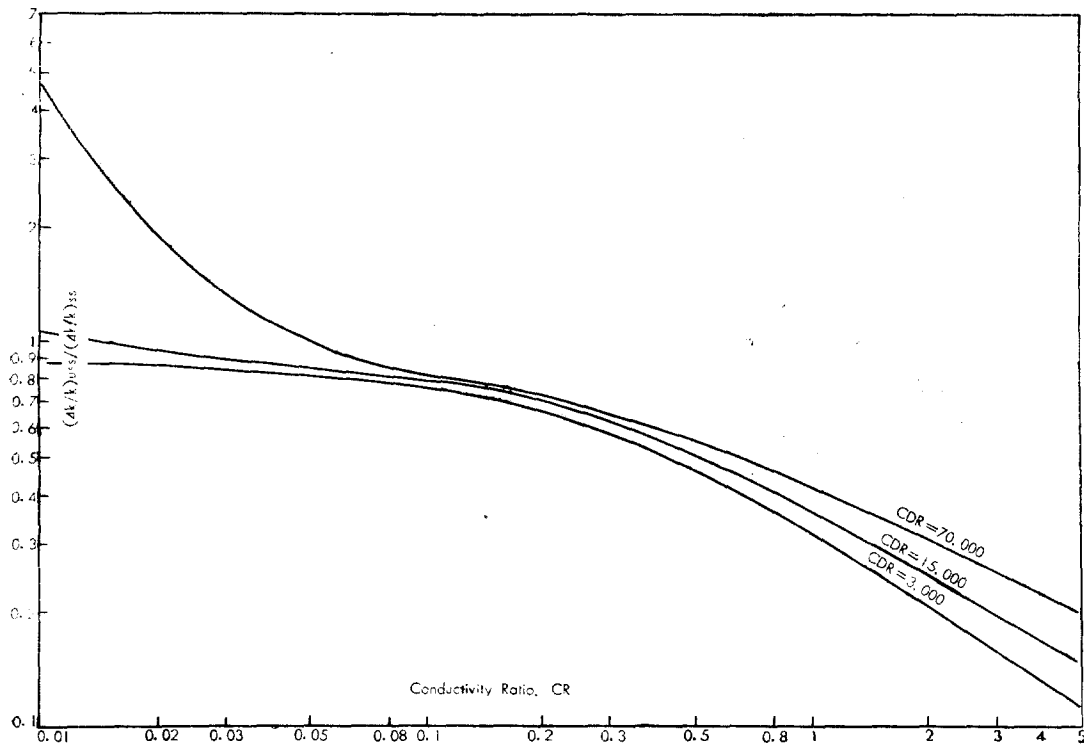


Fig. 6 Result of Theoretical Analysis for Ratio of Error in Thermal Conductivity by Neglect of Radiation in Frequency Response Method to that in Conventional Steady State Method, $(\Delta k/k)_{uss}/(\Delta k/k)_{ss}$ vs. Conductivity Ratio for $RR=0.01974$, and $DR=1000$

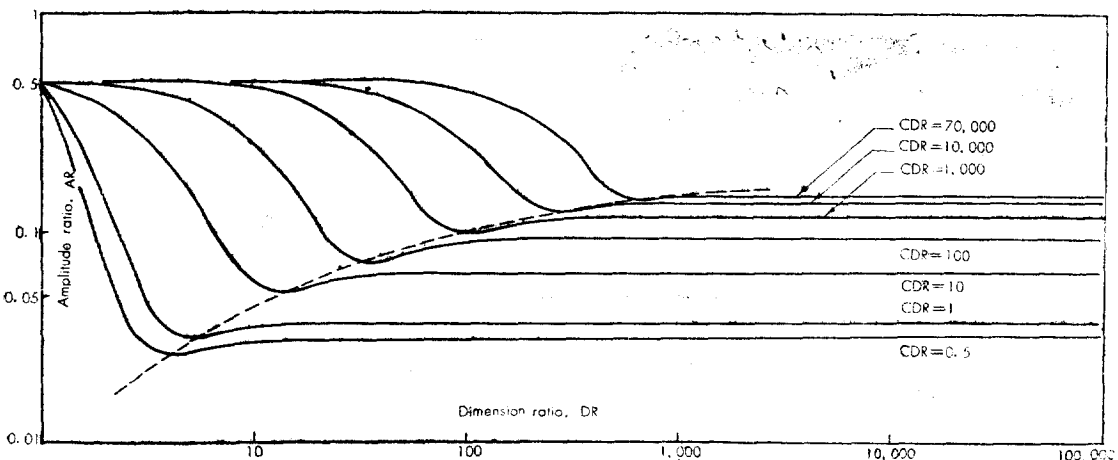


Fig. 7 Dependence of Amplitude Ratio on Dimension Ratio for $CR=0.1$ and $RR=0$

V. 實驗操作法

本研究에서 一回分의 實體操作은 다음의 여러段階를 거쳐서 이루어진다.

- (a) Filament의 裝入 및 測定器의 密閉
- (b) 測定器로의 알카리 金屬의 投入

- (c) 器內 空間을 알곤으로 채우고 一定한 周波數의 微弱한 電流로 室溫에서 Wien bridge를 balance 시켜 Filament의 電氣抵抗을 재어 既知의 單位 길이當의抵抗値로 부터 Filament의 길이를 算出한다.
- (d) 알곤霧團氣속에서 必要한 高溫까지의 Filament

抵抗을 채어 温度와의 相關關係를 얻고, 이로부터 dR/dt 를 温度의 函數로서 얻는다.

(e) 測定器를 室溫까지 시키고 알곤壓力을 大氣壓으로 調節한 後 5~100cps 사이의 몇 가지의 周波數를 써서 알곤으로 补正實驗을 하여 振幅比 對 GP의 關係를 얻는다(이때 CR는 大略 0.05~1.0域에 있고 CDR은 3,000 정도의 値에 있다).

(f) 다시 室溫에서의 Filament 抵抗을 測定하여 앞의 것과 對照해 본다(萬一 약간한 偏差(drift)가 있을정도라면 먼저번의 데이타의 有効性은 損失되지 않는다).

(g) Filament 를 热線으로 만드는데 充分한 電流를 보내고 bridge 를 부터 抵抗值을 읽어낸다.

(h) 热電對型電壓計(TCVM)로 热線을 거쳐서의 有効電壓을 읽어낸다.

(i) Band-pass filter 를 热線加熱用 電流의 周波數의 3倍에 該當하는 周波數로 set 해 놓는다.

(j) Bridge 的 出力を Decade amplifier 및 Band-pass filter 를 거쳐 真空管電壓計(VTVM)로 쟠다. 이것이 E_{3R} 에 該當되는 (겉보기의 値)이다.

(k) 스위치 A 를 測定置(1)에서 补正置(2)로 세낀다. 그리고 Sine 波 Oscillator 를 基本周波數의 3倍에 set한다

(l) 热電對型電壓計로 전 約 1볼트의 電壓을 补正回路에 걸어준다.

(m) Voltage divider 를 調節하여 VTVM 에 前과 꼭 같은 E_{3R} 이 읽어지게 한다. 이때의 Voltage divider 와 Multiplier 스위치 SWB 그리고 TCVM 의 읽기로 부터 E_{3R} 的 絶對值를 계산할수있다.

(n) 이렇게하여 얻어진 E_{3R} 로 부터 (24) 式을 써서 E_s 을 계산하고, 다음 (23) 式을 써서 AR° 을 계산한다.

(o) 温度 Jump 表正項 TJC에 對한 計算機프로그램을 사용하여, 热傳導度 k , 및 輻射修正項과 더불어 이項을 Iteration(되풀이算法)으로 算出한다. TJC 를 계산하는데 必要한 Accommodation coefficient 는 알곤—탕그스텐에 對하여는 0.64, (9) 세슘— 및 루비듐—탕그스텐에 對하여는 다 0.9⁽¹⁰⁾ 를 取하였다. 輻射에 對한 表正을 계산하는데 必要한 가는 탕그스텐線의 輻射率은 別途로 行한 測定值⁽⁸⁾ 를 사용한다.

(p) CDR 的 基準值로 指한 値 3,000 으로 부터의 약간의 倫差에 對한 表正과, 또 热線의 End effect에 對한 表正을 加한다.

(q) 上記한 表正項들을 AR° 에다 適用하여 表正單振幅比 AR 을 算出한다. 이로써 AR vs. GP 曲線上의 한點을 얻은 셈이다.

(r) 上記 (f) 서 부터 (q) 까지의 段階를 다른 몇몇 周波數에 對하여 되풀이하여 AR vs. GP 관계에 對한 表正曲線을 얻는다.

이實驗回數의 알카리金屬에 對한 部分은 위의 Filament 바로 그것을 사용하여 아래의 段階를 밟아서 한다.

(s) 測定器를 쳐어도 3×10^{-5} mmHg 까지 真空으로 끈다.

(t) 徐徐히 보일라와 測定槽를 加熱하여 正常狀態로 이끌되, 測定槽의 温度를 쳐어도 100°C 가량 보일라 温度보다 높게 유지한다. 보일라 温度가 150°C에 到達하였을 때 測定器를 真空線으로 부터 遷斷한다.

(u) 다섯가지의 周波數(5에서 50cps 까지)에 對하여 (f)서 부터 (r) 까지의 段階를 밟게 하여 알카리金屬蒸氣에 對하여 AR vs. GP 曲線을 얻는다. CDR 的 基準值로 부터의 큰 差異에 對한 修正是 實驗의 으로 얻은 資料를 利用하여 計算機프로그램⁽⁸⁾에 依하여 算出한다. 이들 資料는 CDR 값이 큰 低壓資料⁽⁸⁾인 것이다.

(v) 마지막으로 $GP=0.1$ 에서 垂直線을 세우고 被試ガス에 對한 曲線과의 交叉點에서 水平線을 긋고 이것이 表正曲線과 交叉하는 點의 橫座標인 GP의 値에 對한 0.1(GP)의 比를 求하고 이 値에다 表正基準溫度에서의 알곤의 热傳導度를 곱하여 願하는 알카리金屬蒸氣의 热傳導度值를 算出한다.

위의 比의 値은 理論上 어떤 準位의 AR 値에서 取하든지간에 一定해야 할것이지만, 實際로는 高準位의 AR 値에서는 이 比가 GP에 따라 變化하고 低準位의 AR域에서는 차차 그 變化가 쳐어서 GP=0.1 근방에서는 이 比는 GP의 變化에 거의 無感覺해진다. (v)에서 0.1의 GP를 操한것은 바로 그理由가 여기에 있는것이다.

VI. 實驗結果 및 檢討

알곤에 對한 實驗結果를 Fig. 8에 실었다. 이들點은 마지막에 얻어진 가장 信賴할만한 點들이며 한 Filament(No. 12)로 얻어진 것들이다. 壓力은 1에서 10 atm 사이에서 温度에 따라 變化시켜 CDR值를 一定하게 維持시켰다. 이것은 이 程度의 壓力變化는 알곤의 热傳導度에 아무영향도 미치지 않기 때문에 取할 수 있는措置였지만 實은 루비듐과 세슘蒸氣에 適用시킨 本 CDR修正法에 依하면 CDR을 一定하게 유지시킨 努力이 絶對로 必要한 것이 아니었다. 그림에서 實線으로 表示된 曲線들은 처음의 一連의 測定結果이고 破線으로 나타낸 曲線들은 同一한 Filament로 다시 表正實驗을 한後에 얻어진 2次의 測定結果이다. 두 表正曲線사이의 認定할수있는 약간의 變化는 이들 두 系列의 實驗操作中 Filament의 物性과 쳐수에 생기는 變化가 아주 쳐다는 것을 證明해 준다. GP=0.1에서의 表正曲線과 他曲線들 사이의 떨어짐으로부터 다음과같이 表正基準溫度 32.6°C에서의 热傳導值에 對한 相對的인 热傳導度를 산출하였다.

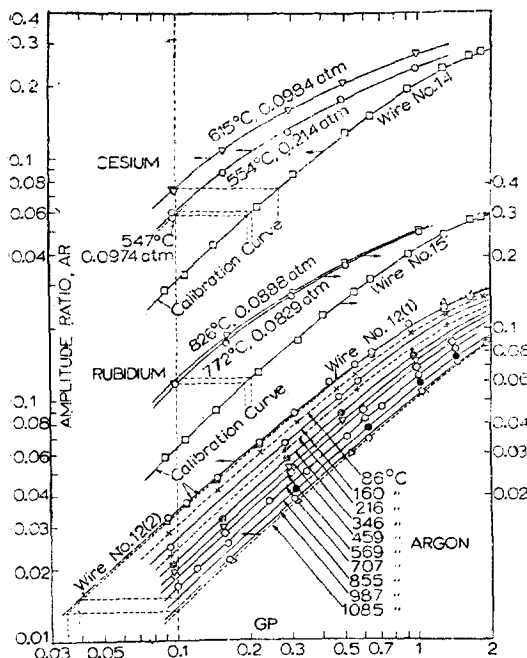


Fig. 8 Working Curves for Thermal Conductivity Test on Argon, Rubidium and Cesium

Table 2. Thermal Conductivity of Argon Relative to 32.6°C

t_1 °C	$k_t/k_{32.6}$
86	1,132
160	1,351
216	1,470
346	1,706
459	1,889
569	2,062
707	2,350
855	2,558
987	2,786
1085	2,859

이들 값은 本人의 Lennard-Jones potential 을 사용한
計算值(Fig. 9) Nuttall의 값⁽¹¹⁾, Liley의 값⁽¹²⁾, 그리고
Peterson 이 앞서 本法으로 测定한 몇點⁽⁶⁾과도 매우
近接한 값을 보여주며 Vargaftik 및 Zimina의 값⁽¹³⁾과
는 約 2% 内에서 一致한다. 위에 값에 t 에 關한 3
次方程式을 適用(Curve fitting 프로그램을 사용하여)

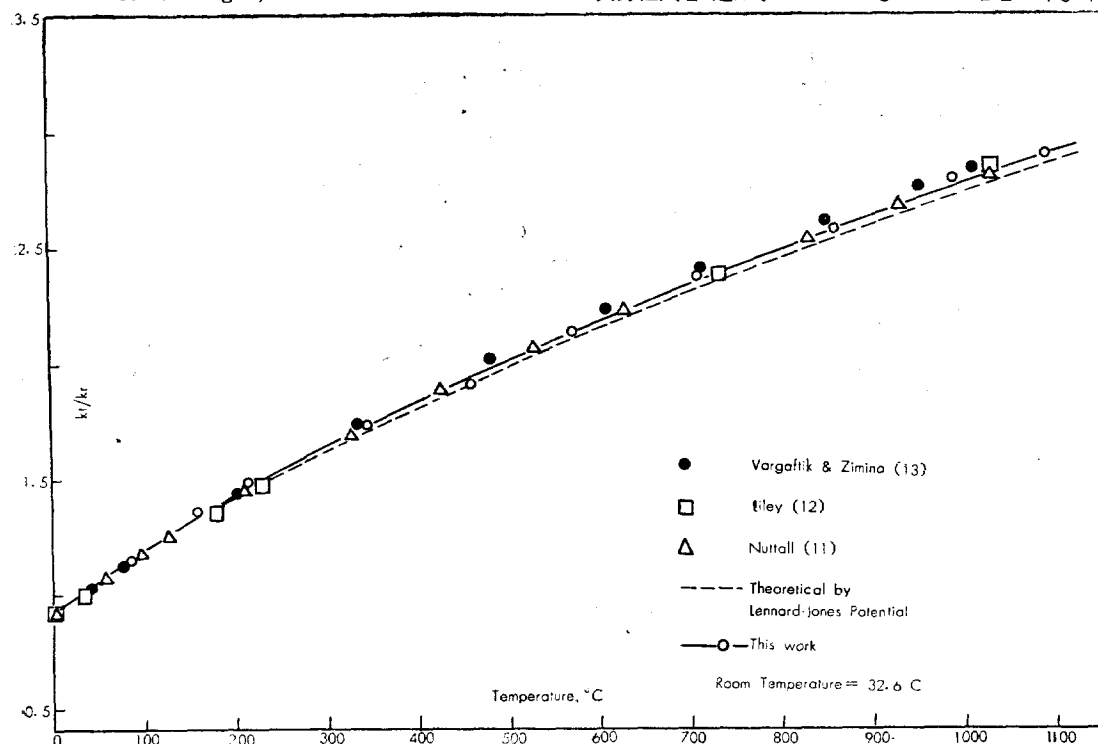


Fig. 9 Thermal Conductivity of Argon Relative to 32.6°C, k_t/kr

하고 그것이 32.6°C에서 單位量⁽¹¹⁾을通過케 한 後 까지

外插하면 $k_0/k_{32.6} = 0.91588$ 을 얻는다. 위에 얻은 3 次

方程式을 이값으로 除하여 아래의 相關關係를 얻는다.

$$(k_t/k_0) = 1 + 2.91287 \times 10^{-3}t - 1.37670 \times 10^{-6}t^2 + 0.48245 \times 10^{-9}t^3$$

여기서 t 는 °C로 읽고, 이式의 標準偏差는 0.0410

다. 이結果의 内의 均一性과 다른 文獻值와의 좋은一致는 本法에서 사용한 實驗法 및 計算法이妥當했음을 立證해 준다고 보아야 하겠다.

알카리金屬蒸氣의 热傳導度에 對한 溫度의 영향을 재는데는 測定器를 完全히 真空으로 해야 하고 또 알카리 金屬을 完全히 脫酸素해야 하므로 成功的으로 재기가 더욱 어렵다. 설혹 이것이可能했다 하더라도 그自體로서는 다른 가스와의 热傳導度의 比較值를 주지 않으므로 現段階에서는 適合한 實驗이 못될 것이다. 알카

리 金屬蒸氣의 热傳導度를 알곤에 對하여 相對的으로 求하는 것은 同一한 Filament로 알곤과 알카리 金屬蒸氣에 對하여 繼續해서 成功的인 測定을 해야 하므로 더욱 더 어렵다. 더구나 낮은 壓力에서는 溫度 jump에 對한修定이 비교적 큰 문제거리가 된다. 上과 같은 어려운 條件下에서 세슘과 루비듐蒸氣에 對하여 0.1~0.2atm의 壓力域에서 몇回의 成功的인 測定을 遂行할 수 있었다. 이들 測定結果가 Fig. 8에 실렸고, 계산치를 Table 3에 실었다.

Table 3. Thermal Conductivity of Cesium and Rubidium Vapors

Alkali Metal	C_s	C_r	C_b	R_b	R_b
% Purity	99.999	"	"	99.8+	"
Source	Dow	"	"	Kawecki	"
Impurities, ppm					
Li	1	"	"	10	"
Na	8	"	"	70	"
K	8	"	"	500	"
Rb or C_s	10	"	"	700	"
Temperature, °C	615	554	547	772	826
Pressure, atm	0.214	0.0984	0.0974	0.0882	0.0829
Thermal Conductivity(Cal/sec. cm. °C) $\times 10^4$	0.1587	0.2060	0.2120	0.2280	0.2158
Estd. Error, %	4.6	"	"	5.1	"

이들 數值中 루비듐蒸氣에 對한 것은 이미 前年度誌의 總說에서 發表⁽¹⁴⁾한 바 있고, 세슘蒸氣에 對하여는 Fig. 10에 理論的 計算值를 背景으로 프로트했다. 이들 金屬은 商品化되고 있는 것들中에서는 가장 純粹한 것들이며 그의 分析值는 Table 3 속에서 찾아 볼수 있다. 热傳導度值에 對한 不純物의 영향은 液相과 氣相에 對하여 理想的混合物을 假定하고 Table 1의 相對

的 热傳導度를 이용하여 推算할수 있다. 이에 依하면 가벼운 金屬일수록 높은 热傳導度值를 가지지만, 가벼울수록 挥發性이 약아서 세슘의 境遇不純物의 영향은 全然無視할수 있고, 루비듐의 경우는 不純物에 依한 热傳導度는 440ppm에 不過하므로 위의 값으로부터 빼지 않았다.

Gottlieb 및 Zollweg의 データ는 3 torr 以下의 낮은 壓力의 것이다. 따라서 그들의 热傳導度의 값은 溫度 jump의 영향을 除去하기 위하여 높은 壓力에 까지 外插하였지만 根本적으로 單原子分子에 對한 값이다. 그들의 루비듐에 對한 값은 前報⁽¹⁴⁾한 그림에 프로트되어 있지만 明白히 너무 낮은 값을 나타내고 있고 세슘에 對한 값은 反對로 너무 높다. Achener의 루비듐에 對한 값⁽¹⁵⁾은 饱和蒸氣에 對한 값인데 本人의 實測值 및 理論值 및 보다도相當히 낮은 값을 나타낸다.

VII. 結論

本研究는 始초에 많은 實測值를 亂것을 目的으로 하였지만 實驗이 어려워 小數의 實測值를 내는데 그쳤고 그대신 前報한 바와 같이 氣體論을 이용한 理論值計算으로 補完했다. 多幸히도 이 小數의 實測值는 誤差範

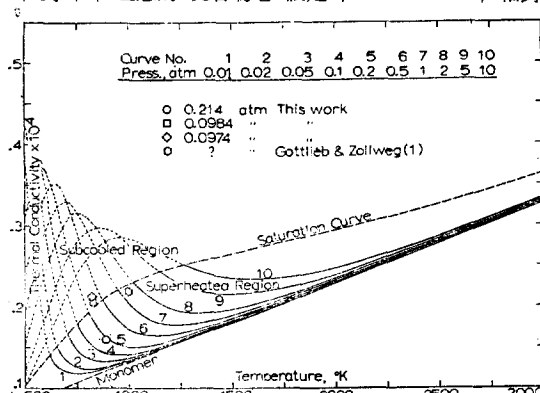


Fig. 10 Experimental and Calculated Thermal Conductivity for Cesium Vapor

團以內에서 理論值와 좋은一致을 보였다. 특히 二原子分子의 存在領域에서 理論值가 溫度變化에 따라 極小值를 나타낸다는 點이 Stefanov 等의 나트륨과 포타슘의 蒸氣에 對한 热傳導度의 實測值로부터 얻은 結論과도一致하지만 本實驗結果로도 그것이 確認되는 바이다. 本實驗結果는 또한 모든 여태까지의 文獻值를 綜合하고 本人의 理論值와 對照해 볼때 여태껏 發表된 몇個안되는 實測值中 가장 鑽實에 가까운 값이 아닌가

한다. 어려운 實測值 한點을 얻기 為해 數個月 내지는 年餘의 歲月을 보내느니 本實驗結果 및 Stefanov의 實驗結果와 優秀내지 良好한一致를 보이는 前報한 루비듐 및 나트륨 蒸氣에 對한 理論值와 이와 同一한 方法에 依하여 계산한 Table 4, 5, 및 6의 세슘, 포타슘 및 리튬 蒸氣에 관한 理論值를 더욱 完全하거나 또는 새로운 實測值가 나올때까지 使用할 것을 本人은 推奨하는 바이다.

Table 4 Equilibrium Thermal Conductivity of Cesium Vapor (cal/sec. cm. °C) $\times 10^4$

T(°K)	Monomer	Pressure, atm						Saturation		
		0.02	0.05	0.1	0.2	0.5	1	2	5	10
500	0.0810									0.1023
600	0.0920									0.1431
700	0.1026	0.1349								0.1655
800	0.1129	0.1232	0.1375	0.1585	0.1923					0.1922
900	0.1230	0.1270	0.1329	0.1422	0.1590	0.1977				0.2129
1000	0.1328	0.1348	0.1376	0.1421	0.1506	0.1721	0.2013			0.2281
1100	0.1426	0.1436	0.1451	0.1476	0.1253	0.1653	0.1837	0.2112		0.2394
1200	0.1523	0.1529	0.1537	0.1552	0.1580	0.1660	0.1779	0.1976	0.2347	0.2481
1300	0.1619	0.1623	0.1628	0.1637	0.1655	0.1707	0.1787	0.1926	0.224	0.2494 0.2550
1400	0.1714	0.1717	0.1712	0.1727	0.1739	0.1774	0.1829	0.1930	0.2162	0.2405 0.2610
1500	0.1810	0.1811	0.1814	0.1818	0.1827	0.1852	0.1892	0.1965	0.2146	0.2355 0.2666
1600	0.1905	0.1906	0.1908	0.1911	0.1917	0.1936	0.1965	0.2021	0.2163	0.2338 0.2719
1700	0.2000	0.2001	0.2002	0.2005	0.2009	0.2023	0.2046	0.2088	0.2201	0.2347 0.2772
1800	0.2095	0.2096	0.2097	0.2099	0.2102	0.2113	0.2131	0.2164	0.2255	0.2377 0.2827
1900	0.2190	0.2191	0.2192	0.2193	0.2198	0.2205	0.2216	0.2246	0.2320	0.2422 0.2882
2000	0.2286	0.2287	0.2287	0.2288	0.2291	0.2298	0.2309	0.2331	0.2392	0.2479 0.2940
2100	0.2382	0.2383	0.2383	0.2384	0.2386	0.2391	0.2401	0.2419	0.2470	0.2544 0.3000
2200	0.2478	0.2478	0.2479	0.2480	0.2481	0.2486	0.2494	0.2509	0.2552	0.2615 0.3061
2300	0.2575	0.2575	0.2575	0.2576	0.2577	0.2581	0.2588	0.2601	0.2638	0.2692 0.3125
2400	0.2672	0.2672	0.2673	0.2673	0.2674	0.2677	0.2683	0.2694	0.2726	0.2773 0.3190
2500	0.2767	0.2770	0.2770	0.2770	0.2771	0.2774	0.2779	0.2788	0.2816	0.2857 0.3258
2600	0.2867	0.2867	0.2868	0.2868	0.2869	0.2871	0.2875	0.2884	0.2908	0.2944 0.3327
2700	0.2769	0.2966	0.2966	0.2966	0.2967	0.2969	0.2973	0.2980	0.3001	0.3033 0.3397
2800	0.3064	0.3064	0.3064	0.3065	0.3065	0.3067	0.3070	0.3077	0.3095	0.3124 0.3469
2900	0.3163	0.3163	0.3163	0.3164	0.3164	0.3166	0.3169	0.3174	0.3191	0.3216 0.3543
3000	0.3263	0.3263	0.3263	0.3263	0.3264	0.3265	0.3268	0.3273	0.3287	0.3310 0.3618

記號 說明

a	아름모데이 촘係數	c_v	被試가스의 定容比熱	"
c	被試가스의 定壓比熱	f	加熱用電流의 周波數	cps
c'	金屬線의 比熱	$cal/g. °C$	被試가스의 热傳導度	cal/sec. cm. °C
		k	假想가스의 热傳導度	"
		k^o	金屬線 單位길이 當의 質量	g/cm
		m		

Table 5 Equilibrium Thermal Conductivity of Potassium Vapor (cal/sec. cm. °C) × 10⁴

T(°K)	Monomer				Pressure, atm 0.2 0.5	1	2	5	10	Saturation
		0.02	0.05	0.1						
500	0.1851									0.1979
600	0.2100									0.2450
700	0.2339									0.3015
800	0.2571	0.3422	0.2931	0.4130						0.3618
900	0.2797	0.3121	0.2929	0.3420	0.3954					0.4197
1000	0.3019	0.3163	0.3077	0.3302	0.3563	0.4241				0.4710
1100	0.3238	0.3311	0.3267	0.3382	0.3521	0.3902	0.4441			0.5142
1200	0.3454	0.3495	0.3471	0.3535	0.3615	0.3840	0.4179	0.4741		0.5497
1300	0.3668	0.3693	0.3678	0.3718	0.3767	0.3908	0.4127	0.4513	0.5362	0.5786
1400	0.3881	0.3898	0.3888	0.3914	0.3945	0.4038	0.4186	0.4455	0.5099	0.5803 0.6025
1500	0.4093	0.4104	0.4098	0.4115	0.4137	0.4201	0.4304	0.4497	0.4984	0.5570 0.6226
1600	0.4304	0.4312	0.4307	0.4320	0.4336	0.4382	0.4456	0.4598	0.4970	0.5449 0.6401
1700	0.4515	0.4521	0.4518	0.4527	0.4538	0.4572	0.4628	0.4735	0.5023	0.5413 0.6558
1800	0.4726	0.4730	0.4728	0.4735	0.4743	0.4769	0.4812	0.4895	0.5121	0.5439 0.6704
1900	0.4936	0.4940	0.4938	0.4943	0.4950	0.4970	0.5004	0.5069	0.5250	0.5512 0.6843
2000	0.5147	0.5150	0.5149	0.5153	0.5158	0.5174	0.5201	0.5253	0.5400	0.5617 0.6978
2100	0.5358	0.5361	0.5359	0.5363	0.5367	0.5380	0.5402	0.5445	0.5566	0.5747 0.7112
2200	0.5570	0.5572	0.5570	0.5573	0.5577	0.5588	0.5606	0.5641	0.5742	0.5895 0.7246
2300	0.5782	0.5784	0.5783	0.5785	0.5788	0.5797	0.5812	0.5842	0.5927	0.6057 0.7381
2400	0.5995	0.5996	0.5997	0.5997	0.6000	0.6007	0.6020	0.6045	0.6118	0.6230 0.7517
2500	0.6208	0.6210	0.6210	0.6210	0.6212	0.6219	0.6230	0.6251	0.6314	0.6411 0.7656
2600	0.6422	0.6423	0.6423	0.6424	0.6426	0.6432	0.6441	0.6459	0.6513	0.6598 0.7797
2700	0.6637	0.6638	0.6639	0.6639	0.6640	0.6645	0.6653	0.6669	0.6716	0.6798 0.7940
2800	0.6853	0.6854	0.6855	0.6854	0.6856	0.6860	0.6867	0.6881	0.6922	0.6987 0.8085
2900	0.7069	0.7070	0.7072	0.7071	0.7072	0.7075	0.7082	0.7094	0.7130	0.7188 0.8233
3000	0.7286	0.7287	0.7288	0.7288	0.7289	0.7292	0.7297	0.7308	0.7341	0.7392 0.8383

p	被試ガス의 壓力	atm	R_M	熱電對型電型計의 抵抗	"
r	金屬線 中心부터의 距離	cm	$\frac{dR}{dt}$	金屬線의 平均溫度에 관한 電氣抵抗의 第1次導函數	ohm/°C
r_1	金屬線의 半徑	"	T	絕對溫度	°K
r_2	外筒의 半徑	"	r	比熱의 比	
t	瞬間溫度	°C	θ	時 間	sec
t_1	金屬線의 瞬間溫度	"	ρ	被試ガス의 密度	g/cm ³
t_2	外筒의 溫度	"	ρ'	金屬緊의 密度	g/cm ³
E	金屬線에서의 IR-drop	volt	ϕ	位相角	radians
E_1	基本波의 主 rms 電壓	"	ω	角速度, $2\pi f$	radians/sec
E_3	第 3 高調波의 rms 電壓	"			
E_{3R}	電橋出力 rms 第 3 高調波電壓	"			
I	金屬線을 흐르는 rms 電流	amps			
L	金屬線의 길이	cm			
R	가스恒數, 또는 瞬間電氣 抵抗	ohm			
\bar{R}	金屬線의 平均電氣抵抗	"			
				引用文獻	
				(1) Gottlieb, M. and R. J. Zellweg, J. Chem. Phys., 39, 10, 2773—2774(Nov., 1963)	

Table 6 Equilibrium Thermal Conductivity of Lithium Vapor (cal/sec. cm. °C) x 10⁴

T(°K)	Monomer	Pressure, atm					1	2	5	10	Saturation
		0.02	0.05	0.1	0.2	0.5					
500	0.5220										0.5421
600	0.5934										0.6713
700	0.6619										0.8695
800	0.7282										1.1479
900	0.7929										1.9535
1000	0.8562										1.8850
1100	0.9185										2.2845
1200	0.9800										2.6633
1300	1.0409	2.0199									3.0075
1400	1.1012	1.5540	2.1472	2.9534							3.3004
1500	1.1613	1.3864	1.7006	2.1690	2.9377						3.5416
1600	1.2211	1.3441	1.5146	1.7852	2.2667	3.3504					3.7335
1700	1.2808	1.3494	1.4498	1.6106	1.9098	2.6568	3.5428				3.8817
1800	1.3404	1.3818	1.4430	1.5423	1.7318	2.2523	2.9023	3.8067			3.9929
1900	1.4001	1.4264	1.4652	1.5290	1.6525	1.9936	2.4782	3.2129			4.0736
2000	1.4599	1.4770	1.5030	1.5454	1.6284	1.8633	2.2127	2.7838	3.8531		4.1299
2100	1.5198	1.5319	1.5493	1.5785	1.6360	1.8012	2.0546	2.4907	3.4032		4.1669
2200	1.5798	1.5882	1.6007	1.6215	1.6623	1.7812	1.9672	2.2992	3.0522	3.8104	4.1890
2300	1.6402	1.6461	1.6554	1.6704	1.7002	1.7875	1.9262	2.1801	2.7913	3.4717	4.1997
2400	1.7008	1.7057	1.7120	1.7232	1.7455	1.8109	1.9159	2.1118	3.6047	3.1970	4.2015
2500	1.7617	1.7658	1.7702	1.7788	1.7957	1.8455	1.9263	2.0791	2.4764	2.9828	4.1966
2600	1.8229	1.8266	1.8295	1.8362	1.8492	1.8879	1.6509	2.0713	2.3927	2.8214	4.1867
2700	1.8845	1.8866	1.8898	1.8949	1.9051	1.9357	1.9855	2.0815	2.3427	2.7040	4.1728
2800	1.9465	1.9494	1.9507	1.9550	1.9629	1.9873	2.0272	2.1045	2.3182	2.6223	4.1559
2900	2.0089	2.0102	2.0128	2.0157	2.0223	2.0419	2.0741	2.1370	2.3130	2.5692	4.1366
3000	2.0717	2.0742	2.0746	2.0771	2.0826	2.0986	2.1250	2.1766	2.3225	2.5388	4.1153

- (2) Stefanov, V. I., D. L. Timrot, E. E. Totske and Ch. Venkhao, Thermophysics of High Temperature, 4, 141 (1996) Academy of Science, USSR
- (3) Timrot, D. L. and E. E. Totske, Thermophysics of High Temperature, 3, NO. 5 (1965)
- (4) Achener, P. Y., AGN Report No. 8222, Contract AT (04-3)-368, p. 7, Aerojet-General Corp., San Ramon, Calif. (May 1967)
- (5) Lee, C. S. and C. F. Bonilla, Technical Report No. 1, Contract Nonr 266(11), Columbia Univ., N. Y. (1952); 李載聖, 화학공학 1, 2, 113-122(1963)
- (6) Peterson, J. R., Eng. Sc. D. Dissertation, Dept. of Chem. Eng., Columbia Univ. (1963); Peterson, J. R. and C. F. Bonilla, Third Symposium on Thermophysical Properties, ASME, pp. 264-276(March 22-25, 1965)
- (7) Kennard, E. H., Kinetic Theory of Gases, McGraw Hill, Bok Co. Inc. N. Y., 1938
- (8) Lee, C. S., Eng. Sc. D. Dissertation Dept. of Chem. Eng. Columbia Univ. (1968). Available through University Microfilms, Inc., Ann Arbor, Mich.; Lee, C. S. and C. F. Bonilla, Proceedings of the 7th Conference on Thermal Conductivity, Nat'l. Bur. Standards, Special Publication 302, 1968
- (9) Bremner, J. G. M., Proc. Roy. Soc. (London), 201A, 321-329(1950)
- (10) Davies, R. H., E. A. Mason and R. J. Munn, Phys. Fluids, 8, 3, 444(1965)
- (11) Nuttall, R. L., Nat'l. Bur. Standards Circ. 564, Washington, D. C. (1955)
- (12) Liley, P. E., Private Communication(Dec., 1966)
- (13) Vargaftik, N. B. and Zimnia, N. kh., Teplofizika Vysokikh Temperatur, 2, 5, 716-724(1964)
- (14) 李載聖, 화학공학 6, 2, 43-48(1968)
- (15) Achener, D. Y., Private Communication(Nov., 1967)